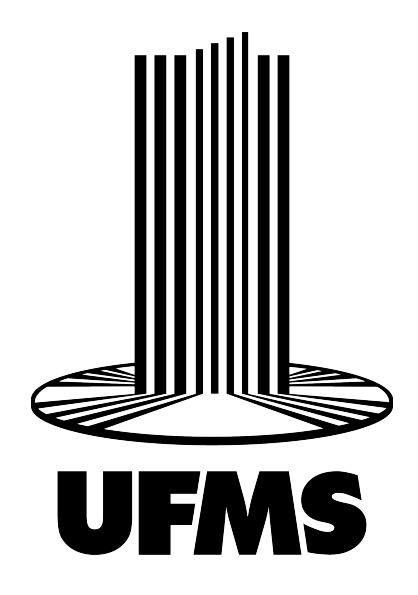
symbols letters [,left]1 1



2024

Student Name: Jonatas Santos Galvão

Student ID: 202019050185

Project Title: Fundamentos de Projeto de

Compensadores via LMIs

Supervisor: Victor Leonardo Yoshimura

COLLEGE OF COMPUTING

Federal University of Mato Grosso do Sul

1 Introduction

Equações Diferenciais em SLIT-Cs

Nos SLIT-Cs, o comportamento do sistema pode ser descrito por equações diferenciais lineares com coeficientes constantes. Essas equações relacionam a entrada do sistema x(t) com a saída y(t) e suas respectivas derivadas.

Forma Geral da Equação Diferencial

A forma geral de uma equação diferencial que descreve um SLIT-C é:

$$a_n \frac{d^n y(t)}{dt^n} + a_{n-1} \frac{d^{n-1} y(t)}{dt^{n-1}} + \dots + a_1 \frac{dy(t)}{dt} + a_0 y(t) = b_m \frac{d^m x(t)}{dt^m} + b_{m-1} \frac{d^{m-1} x(t)}{dt^{m-1}} + \dots + b_1 \frac{dx(t)}{dt} + b_0 x(t)$$
(1)

onde:

- y(t) é a saída do sistema.
- x(t) é a entrada do sistema.
- $a_n, a_{n-1}, \ldots, a_0$ são os coeficientes da saída.
- $b_m, b_{m-1}, \ldots, b_0$ são os coeficientes da entrada.
- $\bullet\,$ n e m são os maiores graus das derivadas da saída e da entrada, respectivamente.

Para garantir a causalidade, onde a saída em qualquer instante depende apenas da entrada presente e passada (e não da futura), é necessário que $n \ge m$. Isso implica que o grau do polinômio que representa a derivada da saída deve ser maior ou igual ao grau do polinômio que representa a derivada da entrada. Dessa forma, a função pode ser representada na forma de somatório:

$$\sum_{n=0}^{i} a_n \frac{d^n y(t)}{dt^n} = \sum_{m=0}^{j} b_m \frac{d^m u(t)}{dt^m}$$
 (2)

Nesta equação:

- y(t) representa a saída do sistema, que é a função que queremos determinar.
- u(t) representa a entrada do sistema, que é a função que excita ou controla o sistema.
- $\frac{d^k y(t)}{dt^k}$ são as derivadas de y(t) em relação ao tempo até a ordem n.
- $\frac{d^m u(t)}{dt^m}$ são as derivadas de u(t) em relação ao tempo até a ordem m.
- a_k e b_m são coeficientes que podem depender do tempo t, da saída y(t) e da entrada u(t).

A representação no espaço de estado é uma abordagem alternativa e poderosa para analisar e projetar Sistemas Lineares Invariantes no Tempo (SLIT-Cs). Enquanto a representação por equações diferenciais e a função de transferência são úteis, a representação no espaço de estado oferece uma visão mais geral e pode lidar com sistemas de ordem superior de forma mais eficiente, além de ser mais adequada para análise e controle de sistemas multivariáveis (MIMO - Multiple Input Multiple Output).

Representação no Espaço de Estado

Na representação no espaço de estado, um sistema SLIT-C é descrito por um conjunto de equações diferenciais de primeira ordem. A dinâmica do sistema é capturada por duas equações:

Equações do Espaço de Estado

Para um sistema com estado $\mathbf{x}(t)$, entrada $\mathbf{u}(t)$ e saída $\mathbf{y}(t)$, as equações do espaço de estado são:

$$\dot{\mathbf{x}}(t) = \mathbf{A}\mathbf{x}(t) + \mathbf{B}\mathbf{u}(t) \tag{3}$$

$$\mathbf{y}(t) = \mathbf{C}\mathbf{x}(t) + \mathbf{D}\mathbf{u}(t) \tag{4}$$

onde:

- $\mathbf{x}(t)$ é o vetor de estado.
- $\mathbf{u}(t)$ é o vetor de entrada.
- $\mathbf{y}(t)$ é o vetor de saída.
- A é a matriz de estado.
- B é a matriz de entrada.
- C é a matriz de saída.
- D é a matriz de transmissão direta.

A representação no espaço de estado oferece uma maneira compacta e poderosa de modelar sistemas dinâmicos, especialmente aqueles que são de ordem superior (ou seja, com muitas variáveis de estado). Ela facilita a análise de estabilidade, controlabilidade e observabilidade do sistema. Aqui estão algumas propriedades importantes:

- Controlabilidade: Um sistema é controlável se, para qualquer estado inicial $\mathbf{x}(0)$ e qualquer estado final desejado $\mathbf{x}(t_f)$, existe uma entrada $\mathbf{u}(t)$ que leva o sistema de $\mathbf{x}(0)$ a $\mathbf{x}(t_f)$ em um tempo finito t_f .
- Observabilidade: Um sistema é observável se, a partir das saídas $\mathbf{y}(t)$ ao longo do tempo, é possível determinar o estado interno $\mathbf{x}(t)$.

Essas propriedades são essenciais para a síntese de controladores e observadores, que são usados para regular o comportamento do sistema e estimar estados não medidos, respectivamente.

Exemplo:

Considere um sistema de segunda ordem, como um massa-mola-amortecedor:

$$m\ddot{x} + b\dot{x} + kx = u(t) \tag{5}$$

Podemos representá-lo no espaço de estado como:

$$\mathbf{x}(t) = \begin{bmatrix} x(t) \\ \dot{x}(t) \end{bmatrix} \tag{6}$$

Então, as equações de estado e saída seriam:

$$\begin{cases} \dot{\mathbf{x}}(t) = \begin{bmatrix} 0 & 1\\ -\frac{k}{m} & -\frac{b}{m} \end{bmatrix} \mathbf{x}(t) + \begin{bmatrix} 0\\ \frac{1}{m} \end{bmatrix} u(t) \\ \mathbf{y}(t) = \begin{bmatrix} 1 & 0 \end{bmatrix} \mathbf{x}(t) \end{cases}$$
(7)

Neste exemplo,
$$\mathbf{A} = \begin{bmatrix} 0 & 1 \\ -\frac{k}{m} & -\frac{b}{m} \end{bmatrix}$$
, $\mathbf{B} = \begin{bmatrix} 0 \\ \frac{1}{m} \end{bmatrix}$, $\mathbf{C} = \begin{bmatrix} 1 & 0 \end{bmatrix}$ e $\mathbf{D} = 0$.

Estabilidade de SLIT-Cs por Lyapunov

A estabilidade em SLIT-Cs pode ser analisada utilizando o critério de estabilidade de Lyapunov. A teoria de Lyapunov fornece uma poderosa ferramenta para verificar a estabilidade de sistemas dinâmicos sem a necessidade de resolver explicitamente as equações diferenciais do sistema [3].

Estabilidade de Lyapunov para SLIT-Cs

Considere um sistema linear invariante no tempo descrito no espaço de estado:

$$\dot{\mathbf{x}}(t) = \mathbf{A}\mathbf{x}(t) \tag{8}$$

Função de Lyapunov

Para analisar a estabilidade deste sistema, definimos uma função de Lyapunov $V(\mathbf{x})$, que é uma função escalar positiva definida e candidata a representar a "energia" do sistema. Uma função comum utilizada para sistemas lineares é a função quadrática:

$$V(\mathbf{x}) = \mathbf{x}^T \mathbf{P} \mathbf{x} \tag{9}$$

onde \mathbf{P} é uma matriz simétrica positiva definida ($\mathbf{P} \succ 0$).

Critério de Estabilidade de Lyapunov

Para que o sistema seja estável por Lyapunov, a derivada de $V(\mathbf{x})$ em relação ao tempo deve ser negativa definida ($\dot{V}(\mathbf{x}) < 0$). Calculamos a derivada total de $V(\mathbf{x})$ ao longo do sistema:

$$\dot{V}(\mathbf{x}) = \frac{d}{dt}(\mathbf{x}^T \mathbf{P} \mathbf{x}) = \dot{\mathbf{x}}^T \mathbf{P} \mathbf{x} + \mathbf{x}^T \mathbf{P} \dot{\mathbf{x}}$$
(10)

Substituindo $\dot{\mathbf{x}} = \mathbf{A}\mathbf{x}$ na equação acima:

$$\dot{V}(\mathbf{x}) = (\mathbf{A}\mathbf{x})^T \mathbf{P} \mathbf{x} + \mathbf{x}^T \mathbf{P} (\mathbf{A}\mathbf{x}) = \mathbf{x}^T \mathbf{A}^T \mathbf{P} \mathbf{x} + \mathbf{x}^T \mathbf{P} \mathbf{A}\mathbf{x}$$
(11)

Simplificando, obtemos:

$$\dot{V}(\mathbf{x}) = \mathbf{x}^T (\mathbf{A}^T \mathbf{P} + \mathbf{P} \mathbf{A}) \mathbf{x} \tag{12}$$

Para que $\dot{V}(\mathbf{x})$ seja negativa definida, a matriz $\mathbf{Q} = \mathbf{A}^T \mathbf{P} + \mathbf{P} \mathbf{A}$ deve ser negativa definida $(\mathbf{Q} < 0)$.

Resumo dos Passos

- 1. Escolha de P: Selecione uma matriz simétrica positiva definida P.
- 2. Verificação de Q: Calcule $Q = A^T P + PA$.
- 3. Condição de Negatividade: Verifique se ${f Q}$ é negativa definida.

Exemplo

Considere o sistema:

$$\mathbf{A} = \begin{bmatrix} 0 & 1 \\ -2 & -3 \end{bmatrix} \tag{13}$$

Escolhemos \mathbf{P} como a matriz identidade para simplificação ($\mathbf{P} = \mathbf{I}$).

$$\mathbf{Q} = \mathbf{A}^T \mathbf{P} + \mathbf{P} \mathbf{A} = \begin{bmatrix} 0 & -2 \\ 1 & -3 \end{bmatrix} + \begin{bmatrix} 0 & 1 \\ -2 & -3 \end{bmatrix} = \begin{bmatrix} 0 & -1 \\ -1 & -6 \end{bmatrix}$$

Para \mathbf{Q} ser negativa definida, seus autovalores devem ser negativos. Calculamos os autovalores de \mathbf{Q} :

$$\det(\mathbf{Q} - \lambda \mathbf{I}) = \begin{vmatrix} -\lambda & -1 \\ -1 & -6 - \lambda \end{vmatrix} = \lambda^2 + 6\lambda + 1$$

As raízes desta equação quadrática fornecem os autovalores. Podemos verificar se eles são negativos usando o discriminante $(b^2 - 4ac)$:

$$\Delta = 6^2 - 4 \cdot 1 \cdot 1 = 36 - 4 = 32$$

Os autovalores são:

$$\lambda_{1,2} = \frac{-6 \pm \sqrt{32}}{2} = -3 \pm \sqrt{8}$$

Como ambos os autovalores têm partes reais negativas, \mathbf{Q} é negativa definida, indicando que o sistema é estável no sentido de Lyapunov.[2]

```
% Inclua os caminhos para YALMIP e SeDuMi
addpath('/path/to/yalmip');
addpath('/path/to/sedumi');

% Definindo parametros do sistema
m = 1;
c = 2;
k = 3;

% Matriz A do sistema massa-mola-amortecedor
A = [0 1; -k/m -c/m];

Vari vel de decisao P (matriz sim trica positiva definida)
```

```
_{14}|P = sdpvar(2, 2);
 % Restricao de Lyapunov: A'P + PA < 0
 LMI = A'*P + P*A < 0;
 % Restri es adicionais (P positivo definido)
19
 F = [LMI, P > 0];
20
        es do solver
 options = sdpsettings('solver', 'sedumi');
 % Solu o do problema
 sol = optimize(F, [], options);
 % Verifica
               o da solu
 if sol.problem == 0
      disp('A matriz P encontrada
      value(P)
31
 else
      disp('Problema na solu
33
      sol.info
34
 end
```

Listing 1: Exemplo por Lyapunov

Controle via Realimentação de Estado

Para usar a teoria de Lyapunov na análise da estabilidade de um sistema realimentado, considera-se uma função de Lyapunov V(x), que é uma função escalar de x com as seguintes propriedades[3]:

- V(x) é positiva definida, ou seja, $V(x) \succ 0$ para todo $x \neq 0$ e V(0) = 0.
- A derivada de V(x) ao longo das trajetórias do sistema, $\dot{V}(x)$, é negativa definida, ou seja, $\dot{V}(x) < 0$ para todo $x \neq 0$.

Uma escolha comum para a função de Lyapunov é uma função quadrática:

$$V(x) = x^T P x \tag{14}$$

onde P é uma matriz simétrica positiva definida. Agora, suponha que todos os elementos de X sejam lidos por sensores. O sinal de realimentação a ser usar será:

$$\mathbf{u} = k_1 x_1 + k_1 x_1 + \dots + k_n x_n = K x \tag{15}$$

Sendo K a determinar. Voltando ao Espaço de Estados tomando a equação (3), temos:

$$\dot{\mathbf{x}}(t) = \mathbf{A}\mathbf{x}(t) + \mathbf{B}\mathbf{u}(t) = \mathbf{A}\mathbf{x}(t) + \mathbf{B}\mathbf{x}(t)\mathbf{K} = (\mathbf{A} + \mathbf{B}\mathbf{K})\mathbf{x}(t). \tag{16}$$

Com $\mathbf{A} \in \mathbb{R}^{2 \times 2}$ e $\mathbf{B} \in \mathbb{R}^{2 \times 1}$, aplicando o método de Lyapunov, devemos encontrar uma matriz $\mathbf{P} \succ 0$, tal que

$$(A + BK)^T P + P(A + BK) \prec 0 \tag{17}$$

para um cálculo ruim, temos:

$$A^T P + K^T B^T P + PA + PBK \prec 0 \tag{18}$$

cujo termo $\mathbf{K}^{\mathbf{T}}\mathbf{B}^{\mathbf{T}}\mathbf{P}$ é uma multiplicação de variáveis, e, portanto, é um termo não linear. Logo, não se trata de uma \mathbf{LMI} . Para realizar um cálculo adequado, usando o critério de Lyapunov e considerando (16), e levando em conta a comutatividade dos termos,

$$(A + BK) P + P (A + BK)^T \prec 0$$

$$AP + BKP + PA^T + PK^TB^T < 0 (19)$$

usando mudança de variável $\mathbf{KP} = \mathbf{W}$. Note que, $\mathbf{W^T} = \mathbf{P^{-1}K^T} = \mathbf{PK^T}$. Portanto (20) é linear.

$$AP + PA^T + BW + W^T B^T \prec 0 (20)$$

$$\mathbf{P} = \begin{bmatrix} p_1 & p_2 \\ p_3 & p_4 \end{bmatrix} \tag{21}$$

$$\mathbf{W} = \begin{bmatrix} w_1 & w_2 \end{bmatrix} \tag{22}$$

com $\mathbf{P} \in \mathbb{R}^{2 \times 2}$ e $\mathbf{W} \in \mathbb{R}^{1 \times 2}$. Na realimentação de estados, isso implica projetar uma lei de controle da forma:

$$u(t) = Kx(t) \tag{23}$$

onde K é a matriz de ganho de realimentação de estado. A escolha apropriada de K pode estabilizar o sistema. Portando do cálculo ruim:

$$\begin{cases} P \succ 0 \\ A^T P + K^T B^T P + PA + PBK \prec 0 \end{cases}$$
 (24)

 ${\it Fato}$: Toda matriz definida positiva é invertível. Além disso, é possível admitir que a inversa de uma matriz simétrica também é simétrica. Portanto, supondo a existência de ${\it P}$ e ${\it P}$ sendo simétrica, então ${\it P}^T$ também existe. Assumindo $T=P^{-1}=\left(P^{-1}\right)^T$, obtém-se:

$$P^{-1}\underbrace{\left[A^{T}P + PA + K^{T}B^{T}P + PBK\right]}_{Q}T \prec 0 \tag{25}$$

a expressão (25) não é uma Lmi, necessitando do seguinte tratamento matemático,

$$P^{-1}A\underbrace{PP^{-1}}_{Identidade} + P^{-1}K^TB^T\underbrace{PP^{-1}}_{Identidade} + \underbrace{P^{-1}P}_{Identidade}AP^{-1} + \underbrace{P^{-1}P}_{Identidade}BKP^{-1} \prec 0$$

$$AP^{-1} + AP^{-1} + P^{-1}K^TB^T + BKP^{-1} \prec 0$$

definindo a mudança de variável em (26) e (27), temos,

$$P^{-1} = Q \tag{26}$$

$$KP^{-1} = KQ = WK = WQ^{-1} (27)$$

fato: Sejam A e B matrizes de dimensões compatíveis, então $(AB)^T = B^TA^T$, com isto, $(KP^{-1})^T = (P^{-1})^T K^T = P^{-1}K^T$, assim:

$$P^{-1}A^T + AP^{-1} + W^TB^T + BW < 0 (28)$$

Portanto, temos (29) como *LMIs*.

$$\begin{cases}
Q \succ 0 \\
QA^T + AQ + W^TB^T + BW \prec 0
\end{cases}$$
(29)

```
2 % Inclua os caminhos para YALMIP e SeDuMi
addpath(genpath('C:\Users\jonat\Downloads\YALMIP-master'));
addpath('C:\Users\jonat\Downloads\sedumi-1.3.5');
7 % Definindo par metros do sistema
8 m = 1;
_{9} c = 2;
_{10} k = 3;
12 % Matriz A do sistema massa-mola-amortecedor
A = [0 1; -k/m -c/m];
_{14} B = [0; 1/m];
16 % Pequena toler ncia para simular inequa es estritas
epsilon = 1e-6;
19 % Vari veis de decis o
Q = sdpvar(2, 2);
|W| = sdpvar(1, 2);
23 Kestri es de Lyapunov para o sistema com realimenta o de
     estados
_{24} LMI = [Q >= 0
_{25} Q * A' + A * Q + W' * B' + B * W <= 0]
27 % Solu o do problema
sol = optimize(LMI, trace(Q));
```

```
% Verifica o da solu
 if sol.problem == 0
31
      % Valores de Q e W encontrados
      Q_value = value(Q)
33
      W_value = value(W)
35
      % Calculando P e K
      P = inv(Q_value)
37
      K = W_value * Q_value
39
      disp('A matriz P encontrada :');
      disp(P);
41
      disp('O controlador K encontrado :');
      disp(K);
43
44 else
     disp('Problema na solu o:');
45
      sol.info
47 end
```

Listing 2: Exemplo por Realimentação de Estados

cujo o resultado encontrado como mostrado abaixo:

```
1 : -1.24E-01 3.21E+00 0.000 0.1900 0.9000 0.9000
                                                        1.67 1 1
    2.1E+00
   2 : -3.75E-03 1.67E-01 0.000 0.0521 0.9900 0.9900
                                                        1.42
                                                             1
     6.2E-01
   3 : -3.71E-05 1.67E-03 0.000 0.0100 0.9990 0.9990
                                                        1.02
                                                             1 1
    2.1E-02
   4 : -3.46E-07 1.56E-05 0.000 0.0093 0.9990 0.9990
                                                        1.00
    2.0E-04
   5 : -3.23E-09 1.46E-07 0.000 0.0093 0.9990 0.9990
                                                        1.00
    1.8E-06
   6 : -3.01E-11 1.36E-09 0.000 0.0093 0.9990 0.9990
                                                        1.00
    1.7E-08
   7 : -2.80E-13 1.27E-11 0.000 0.0093 0.9990 0.9990
                                                        1.00 1 1
    1.6E-10
9 iter seconds digits
                           c*x
                                             b*y
  7
          0.0 12.0 0.0000000000e+00 -2.7989507534e-13
||Ax-b|| = 5.3e-12, ||Ay-c||_+ = 1.9E-13, ||x|| = 1.6e+00, ||y|| = 2.8e
    -01
Detailed timing (sec)
   Pre
                 IPM
                              Post
15 1.283E-02
              1.117E-01
                           2.615E-03
||Max-norms:||b||=1, ||c||=0,
```

```
Q_value =
    1.3988e-13 -3.3118e-13
20
   -3.3118e-13
              1.4001e-13
21
23
 W_value =
   -3.8252e-13 -2.7833e-01
25
27
   -1.5540e+12 -3.6759e+12
   -3.6759e+12 -1.5526e+12
31
32 K =
33
    9.2179e-14 -3.8970e-14
36 A matriz P encontrada
   -1.5540e+12
              -3.6759e+12
   -3.6759e+12
              -1.5526e+12
 O controlador K encontrado
    9.2179e-14
              -3.8970e-14
40
41 >>
```

Análise de Estabilidade com Realimentação de Estado

Lyapunov Discreta: $\overset{+}{x} = Ax$ é assinstoticamente estável se $\exists P \succ 0, talque,$

$$A^{T}PA - P \prec 0$$

$$P - A^{T}PA \succ 0$$

$$P - A^{T}PP^{-1}PA \succ 0$$

$$\begin{bmatrix} P & PA \\ A^{T}P & P \end{bmatrix} \succ 0$$
(30)

Neste contexto, como $\overset{+}{x} = Ax + Bu$, u = Kx, então, $\overset{+}{x} = (A + BK)x$. Por Lyapunov temos $P \succ 0$, tal que,

$$(A + BK)^T P (A + BK) - P \prec 0$$

$$(A^T + K^T B^T) (PA + PBK) - P \prec 0$$

$$A^T P A + A^T P B K + K^T B^T P A + K^T B^T P B K - P \prec 0$$

partindo das seguintes observações iniciais: $T = \begin{bmatrix} P^{-1} & 0 \\ 0 & P^{-1} \end{bmatrix}$, $P^{-1} = Q$, KQ = W e $K = WQ^{-1}$, com isso, podemos estabelecer que $\begin{bmatrix} Q & AQ + BW \\ QA^T + W^TB^T & Q \end{bmatrix} \succ 0$. Com essas ferramentas em mãos. Tomando (??) por complemento de Schur, temos:

$$\begin{bmatrix} P & P(A+BK) \\ (A+BK)^T P & P \end{bmatrix} \succ 0$$

$$\begin{bmatrix} I & A+BK \\ P^{-1} (A+BK)^T P & I \end{bmatrix} \begin{bmatrix} P^{-1} & 0 \\ 0 & P^{-1} \end{bmatrix} \succ 0$$

$$\begin{bmatrix} P^{-1} & (A+BK) P^{-1} \\ P^{-1} (A+BK)^T & P^{-1} \end{bmatrix} \succ 0$$

Uma outra forma de garantir a estabilidade na equação de estado (??), bastando substituir a lei de controle u(t) = -Kx(t) [1], obtemos o sistema fechado:

$$\dot{x}(t) = (A - BK)x(t) \tag{31}$$

precisamos encontrar uma matriz K tal que a matriz A - BK torne o sistema estável. Usando a função de Lyapunov, a derivada de $(\ref{eq:contraction})$ ao longo das trajetórias do sistema é:

$$\dot{V}(x) = \frac{d}{dt} \left(x^T P x \right) = x^T \left(P \left(A - B K \right) + \left(A - B K \right)^T P \right) x \tag{32}$$

Para que o sistema seja estável, precisamos que $\dot{V}(x)$ seja negativa definida. Isso implica que:

$$P(A - BK) + (A - BK)^{T} P < 0 (33)$$

Se for possível encontrar uma matriz P simétrica positiva definida que satisfaça essa equação para uma dada matriz K, então o sistema fechado é estável.

1.1 LMIs por Complemento de Schur

2 Norma H_{∞}

A norma H_{∞} é um conceito fundamental no controle de sistemas lineares, especialmente na teoria de robustez e na síntese de controladores robustos. Ela é usada para medir a resposta máxima de um sistema a entradas persistentes, sendo particularmente útil para analisar e projetar sistemas que devem manter desempenho adequado sob perturbações e incertezas.

Definição de Norma H_{∞}

Para um sistema linear invariante no tempo (LTI) descrito pela função de transferência G(s), a norma H_{∞} é definida como:

$$||G||_{H_{\infty}} = \sup_{\omega \in \mathbb{R}} \sigma_{\max}(G(j\omega))$$
(34)

onde:

- $G(j\omega)$ é a função de transferência avaliada na frequência.
- $j\omega$ (frequência imaginária pura).
- $\sigma_{\max}(G(j\omega))$ é o maior valor singular de $G(j\omega)$ para a frequência ω .

Interpretação Física

A norma H_{∞} quantifica o ganho máximo do sistema, ou seja, ela mede o pior caso da amplificação de um sinal de entrada para um sinal de saída. Se considerarmos um sistema sujeito a uma entrada senoidal $u(t) = A\sin(\omega t)$, a norma H_{∞} dá a amplificação máxima do sinal de saída em relação ao sinal de entrada para qualquer frequência ω .

Importância no Controle de Sistemas

- 1. Robustez: A norma H_{∞} é crucial no design de controladores robustos, pois ela fornece uma medida para garantir que o sistema mantenha desempenho desejado mesmo na presença de incertezas ou perturbações.
- 2. Desempenho: No contexto de desempenho, minimizar a norma H_{∞} implica em limitar a resposta do sistema às perturbações externas, melhorando assim a estabilidade e a performance do sistema controlado.
- 3. Critério de Estabilidade: Em muitos problemas de controle robusto, o critério de estabilidade e desempenho pode ser formulado em termos de minimizar a norma H_{∞} de uma função de transferência fechada do sistema.

Desigualdades Matriciais Lineares (LMIs)

As LMIs são ferramentas matemáticas poderosas usadas para resolver problemas de otimização em controle, incluindo a minimização da norma H_{∞} . A síntese de controladores H_{∞} muitas vezes pode ser formulada como um problema de otimização sujeito a LMIs, que podem ser resolvidas eficientemente usando métodos numéricos.[4]

Sistema Linear Invariante no Tempo (LTI)

Considere um sistema LTI descrito pelas equações de estado:

$$\begin{cases}
\dot{x}(t) = Ax(t) + B_1 u(t) + B_2 w(t) \\
y(t) = Cx(t) + D_1 u(t) + D_2 w(t)
\end{cases}$$
(35)

onde:

- $x(t) \in \mathbb{R}^n$ é o vetor de estado.
- $y(t) \in \mathbb{R}^p$ é o vetor de saída.
- A, B, C, D são matrizes de dimensões apropriadas.
- u(t) entrada de controle.
- w(t) entrada de pertubação.

A função de transferência G(s) do sistema é dada por:

$$G(s) = C(sI - A)^{-1}B + D (36)$$

Um operador X em um espaço vetorial é diagonalizável se, e somente se, existe uma matriz invertível T, tal que,

$$X = T^{-1}DT (37)$$

onde D é uma matriz diagonal cujas entradas são os autovalores de X. Em alguns casos especiais, como em matrizes simétricas, pode-se ter

$$X = T^T DT, (38)$$

onde \boldsymbol{T} é uma matriz ortogonal (($T^{-1}=T^T)$).

 $\operatorname{Em}(H_{\infty})$, consideramos a norma (H_{∞}) da função de transferência do sistema, que é uma medida do pior ganho entre a entrada e a saída do sistema. Para uma matriz X associada ao sistema, a decomposição em valores singulares (SVD) é dada por:

$$X = U\Sigma V^T, (39)$$

onde:

- $U \in \mathbb{R}^{m \times m}$ é uma matriz ortogonal,
- $V \in \mathbb{R}^{n \times n}$ é uma matriz ortogonal,
- $\Sigma \in \mathbb{R}^{m \times n}$ é uma matriz diagonal cujas entradas σ_i são os valores singulares de X.

consideremos a seguinte expressão:

$$x = L \sum m, (40)$$

onde L representa a matriz Σ dos valores singulares de (39) e a somatório se refere aos valores singulares de X. Podemos reinterpretar essa expressão com mais clareza. Se $L = \Sigma$ e a soma $\sum m$ representa a soma dos valores singulares σ_i , então (40) pode ser escrita como:

$$x = \sum_{i} \sigma_{i},\tag{41}$$

onde σ_i são os valores singulares de X.

Essa soma dos valores singulares pode estar relacionada à análise de desempenho do sistema no contexto de controle H_{∞} . Portanto, X é diagonalizável se existe uma matriz T tal que $X = T^{-1}DT$

(ou $X = T^T DT$ para matrizes simétricas), onde \mathbf{D} é diagonal. Em H_{∞} , a decomposição em valores singulares de \mathbf{X} é $X = U \Sigma V^T$, e a soma dos valores singulares $\sum_i \sigma_i$ pode representar uma medida de desempenho do sistema. Aplicando realimentação de estado, (u = Kx) e considerando $\sigma_1(w), \sigma_2(w), \sigma_3(w), \ldots, \sigma_n(w)$, temos,

$$\begin{cases} \dot{x}(t) = (A + B_1 K) x(t) + B_2 w(t) \\ y(t) = (C + D_1 K) x(t) + D_2 w(t) \end{cases}$$
(42)

logo temos, as equações de estado por realimentação,

$$\begin{cases} \dot{x}(t) = Ax(t) + B_1 u(t) + B_2 w(t) \\ y(t) = Cx(t) + D_1 u(t) + D_2 w(t) \end{cases}$$
(43)

e por fim, considerando a expressão,

$$\begin{cases} P \succ 0 \\ A^T P + PA \prec 0 \end{cases}$$

podemos chegar a (??) que caracteriza melhor o vetor de estado.

$$\dot{v} + y^T y - \gamma^2 w^T w < 0 \tag{44}$$

Se X em blocos e negativo definido, então $X_{1,1} \prec 0$,

$$A^T P + PA + C^T C \prec 0$$

$$C^TC \succeq 0$$

$$A^TP + PA \prec -C^TC \prec 0 \rightarrow A^TP + PA \prec 0$$

$$-\begin{bmatrix} A^TP + PA & PB \\ B^TP & -\gamma^2I \end{bmatrix} - \begin{bmatrix} C^TC & C^TD \\ D^TC & D^TD \end{bmatrix} \succ 0$$

$$-\underbrace{\begin{bmatrix} A^TP + PA & PB \\ B^TP & -\gamma^2I \end{bmatrix}}_{A_{schur}} - \underbrace{\begin{bmatrix} -C^T \\ -D^T \end{bmatrix}}_{B_{schur}} \underbrace{I}_{C^T} \begin{bmatrix} -C & -D \end{bmatrix} \succ 0$$

$$\begin{bmatrix} (+) A^T P + PA & (+) PB & (+) C^T \\ (+) B^T P & (-) \gamma^2 I & D^T \\ (+) C & (+) D & (-) I \end{bmatrix} \stackrel{\geq}{<} 0$$

2.1 Realimentação de Estado e H_{∞}

Supondo inexistência de transmissão direta na planta $(D_1 = 0)$, faremos a transformação de congruência $diag(P^{-1}, I, I)$. Quando consideramos a inexistência de transmissão direta na planta, estamos assumindo que não há uma ligação direta entre a entrada de controle u(t) e a saída y(t). Isso simplifica a análise do sistema. Usando a transformação de congruência que é uma técnica usada para manipular desigualdades matriciais lineares (LMIs) preservando a positividade definida das matrizes envolvidas. Consideremos uma transformação de congruência da forma diag (P^{-1}, I, I) , onde P é uma matriz de transformação e I é a matriz identidade.

Suponhamos que temos uma LMI genérica na forma $X \succ 0$:

Para aplicar a transformação de congruência, fazemos:

$$\operatorname{diag}(P^{-1}, I, I) \begin{bmatrix} X & * & * \\ * & I & * \\ * & * & I \end{bmatrix} \operatorname{diag}(P, I, I)$$

$$(45)$$

Esta transformação preserva a positividade definida da matriz X .

No contexto do controle H_{∞} , frequentemente lidamos com sistemas lineares invariantes no tempo (LTI) descritos pelas equações de estado:

$$\dot{x}(t) = Ax(t) + Bu(t) + B_w w(t) \tag{46}$$

$$z(t) = C_z x(t) + D_z u(t) + D_{zw} w(t)$$
(47)

- x(t) é o vetor de estado,
- u(t) é o vetor de controle,
- w(t) é o vetor de distúrbios,
- z(t) é o vetor de saídas de desempenho.

As matrizes A, B, B_w , C_z , D_z , e D_{zw} têm dimensões apropriadas. Aplicando realimentação de estados (u = kx), temos,

$$\begin{cases} \dot{x}(t) = \underbrace{(A+BK)}_{A} x(t) + \underbrace{B_{w}}_{B} w(t) \\ y(t) = \underbrace{(C+D_{Z}K)}_{C} x(t) + \underbrace{D_{zw}}_{D} w(t) \end{cases}$$

$$(48)$$

$$\begin{cases} P \succ 0 \\ \begin{bmatrix} A^T P + PA & * & * \\ B^T P & -I & * \\ C & D & -\mu I \end{bmatrix} \prec 0 \end{cases}$$

substituindo,

$$\begin{bmatrix} (A+BK)^T P + P (A+BK) & * & * \\ B_w^T P & -I & * \\ (C+D_z K) & D_{zw} & -\mu I \end{bmatrix} < 0$$

voltando a (??), temos,

$$\begin{bmatrix} P^{-1} & 0 & 0 \\ 0 & I & 0 \\ 0 & 0 & I \end{bmatrix} \begin{bmatrix} (A+BK)^T P + P(A+BK) & * & * \\ B_w^T P & -I & * \\ C_z & D_{zw} & -\mu I \end{bmatrix} \begin{bmatrix} P^{-1} & 0 & 0 \\ 0 & I & 0 \\ 0 & 0 & I \end{bmatrix} \prec 0$$

por fim,

$$\begin{bmatrix} P^{-1} \left(A + BK \right)^T P + \left(A + BK \right) & B_w & P^{-1}C^T \\ B_w^T P & -I & D_{zw} \\ C_z & D_{zw} & -\mu I \end{bmatrix} \begin{bmatrix} P^{-1} & 0 & 0 \\ 0 & I & 0 \\ 0 & 0 & I \end{bmatrix} \prec 0$$

$$\begin{bmatrix} P^{-1} \left(A + BK \right)^T + \left(A + BK \right) P^{-1} & B_w & P^{-1}C^T \\ B_w^T P & -I & D_{zw} \\ C_z P^{-1} & D_{zw} & -\mu I \end{bmatrix} \prec 0$$

Aplicação no Controle H_{∞}

No contexto do controle H_{∞} , queremos encontrar uma matriz de ganho K que minimize o ganho H_{∞} da função de transferência $T_{zw}(s)$, garantindo que:

$$||T_{zw}(s)||_{\infty} < \gamma \tag{49}$$

onde γ é um valor escalar especificado. A transformação de congruência é usada para simplificar as LMIs envolvidas na formulação desse problema. Para todas as frequências ω :

$$\sigma_{\max}(G(j\omega)) < \gamma$$

ou equivalentemente:

$$G(j\omega)^*G(j\omega) < \gamma^2 I$$

Derivação (outro método de formulação)

Para um sistema LTI, a função de transferência é:

$$G(s) = C(sI - A)^T B + D$$

Seja x(t) o vetor de estado do sistema. Consideramos a função de Lyapunov $V(x) = x^T P x$ onde P > 0 é uma matriz positiva definida.

Para garantir a estabilidade e o desempenho H_{∞} , precisamos que a derivada de V(x) ao longo das trajetórias do sistema seja negativa. A derivada de V(x) é dada por:

$$\dot{V}(x) = \frac{d}{dt}(x^T P x) = x^T \dot{P} x + 2x^T P \dot{x}$$

Substituindo $\dot{x} = Ax + Bu$:

$$\dot{V}(x) = x^T (A^T P + PA)x + 2x^T PBu$$

Queremos que $\dot{V}(x)$ seja negativa e que a energia da saída y seja menor que γ vezes a energia da entrada u. Consideramos a seguinte inequação:

$$\left[\dot{V}(x) - \gamma^2 u^T u + y^T y\right] < 0$$

Substituindo y = Cx + Du:

$$\left[x^T(A^TP+PA)x+2x^TPBu-\gamma^2u^Tu+(Cx+Du)^T(Cx+Du)\right]<0$$

Agrupando termos e escrevendo em forma matricial, obtemos:

$$\begin{bmatrix} x \\ u \end{bmatrix}^T \begin{bmatrix} A^TP + PA + C^TC & PB + C^TD \\ B^TP + D^TC & -\gamma^2I + D^TD \end{bmatrix} \begin{bmatrix} x \\ u \end{bmatrix} < 0$$

Esta desigualdade deve ser válida para todos os x e u, o que leva à LMI final:

$$\begin{bmatrix} A^TP + PA + C^TC & PB + C^TD \\ B^TP + D^TC & -\gamma^2I + D^TD \end{bmatrix} < 0$$

Redefinindo γ como γ obtemos:

$$\begin{bmatrix} A^TP + PA & PB & C^T \\ B^TP & -\gamma I & D^T \\ C & D & -\gamma I \end{bmatrix} < 0$$

Solução

Para encontrar P e minimizar γ , usamos métodos numéricos de otimização de LMIs. Esta LMI pode ser resolvida utilizando pacotes de software como Octave como YALMIP ou SeDuMi, que são projetados para resolver problemas de otimização com LMIs.

References

- [1] S. Boyd et al. *Linear Matrix Inequalities in System and Control Theory*. Philadelphia, PA: SIAM Studies in Applied Mathematics, 1994.
- [2] R. J. Caverly and J. R. Forbes. *LMI Properties and Applications in Systems, Stability, and Control Theory*.
- [3] Pedro L. D. Peres and Ricardo C. L. F. Oliveira. Análise e Controle de Sistemas Lineares por Desigualdades Matriciais Lineares (LMIs). 2024.
- [4] K. Zhou and J. C. Doyle. Essentials of Robust Control. New York: Prentice Hall, 1998.